

CORRIGÉ Physique A CB 2020

EXERCICE (A) : Interférences atomiques et moléculaires.

PARTIE (I) : Interférences d'atomes de Néon froids.

Q17 : D'après l'expression de De Broglie, la particule se voit attribuer une longueur d'onde lorsqu'elle est en mouvement ( $\vec{p} \neq 0$ ).  
Pour les particules non-relativistes (ce qui est le cas dans cette expérience)  $\vec{p} = m\vec{v}$  (ou bien  $p = \frac{h}{\lambda} = \frac{h\nu}{c}$  ← énergie).  
 $(\gamma m v^2)_\text{relativiste}$  →  $\lambda_\text{DB} = \frac{h}{mv} = \frac{h\nu}{c}$  ← dispersion).

Les réponses à cette Q17 sont intégralement dans le doc (5) :  
(1)  $\Rightarrow$  les impacts sur l'écran MPC attestent du caractère "corpusculaire" des atomes : ils ne se sont pas scindés au passage des fentes si elles correspondent à chaque fois à 1 impact.  
Ils sont tous étalés comme des particules en chute libre (mais le détecteur n'a qu'une résolution de 20 µm).

(2)  $\Rightarrow$  le caractère "ondulatoire" est observé dans la "figure" d'interférences du dispositif équivalent aux fentes d'Young en optique ondulatoire (photons) : on observe (doc (5)) trois franges avec 1 interférence (éloignement variable).  
La distance entre les fentes n'est que de 6,0 µm : pour avoir de la diffraction, la longueur d'onde doit être supérieure ou au moins de grandeur que  $b$  ( $\Delta m \approx 1 = b$  on en observe 1). Et pour avoir des interférences il faut que l'éloignement spatial de la particule (donnée par sa durée de probabilité de présence égale au carré de sa fonction d'onde) soit supérieur ou égal à l'ordre de grandeur de  $a$ .

Q18 : a)  $m^* = \frac{M_{\text{Ne}}}{N_A} = \frac{20 \cdot 10^{-3}}{6,02 \cdot 10^{23}} \approx \frac{1}{3} \frac{10^{-2}}{10^{23}} \approx 3,3 \cdot 10^{-26} \text{ kg}$

b) En considérant l'atome comme 1 pt matériel suivant exclusivement l'action d'un champ de pesanteur uniforme, ferme et en 1D et tenant le principe fondamental dans le référentiel terrestre supposé galiléen :

$$mg = m\vec{a} \Rightarrow \frac{d\vec{v}_z}{dt} = g \quad (\text{axe } z \text{ vertical descendant})$$

$$\Rightarrow \vec{v}_z = gt + \vec{v}_0$$

$$\left. \begin{aligned} v(z=0) &= 0 \\ z(t=0) &= 0 \end{aligned} \right\} \Rightarrow v_f = gt_c \rightarrow \text{Temps de chute libre jusqu'aux fentes}$$

$$\text{et } t = \frac{1}{2}gt_c^2 = \frac{1}{2}g \left( \frac{v_f}{g} \right)^2 \Rightarrow v_f = \sqrt{2g}t$$

b) A.N :  $N_f = \sqrt{2 \times 9,8 \times 76 \cdot 10^{-3}} \approx \sqrt{2 \times 10 \cdot 7,5 \cdot 10^{-2}}$   
 $N_f \approx \sqrt{1,5} \approx 1,2 \text{ m.s}^{-1}$

c)  $\lambda_{DB} = \frac{6,63 \cdot 10^{-34}}{3,3 \cdot 10^{-26} \times 1,2} \approx \frac{2 \cdot 10^{-34}}{1,2 \cdot 10^{-26}} \approx 1,6 \cdot 10^{-8} \text{ m}$

$\lambda_{DB} \approx 0,016 \mu\text{m}$  à comparer à la largeur des fentes d'Young de  $b = 2 \mu\text{m}$  ! (faible diffraction !)

(suite)  $\rightarrow$  Dans cette fin de question, il faut considérer que le calcul de la longueur d'onde de De Broglie ( $0,02 \mu\text{m}$ ) nous permet d'arrimer l'atome de Néon à 1 OBJET QUANTIQUE puisque sa longueur d'onde de DB est supérieure à sa taille (Rayon atomique du Néon  $\approx 40 \text{ pm} \ll \lambda_{DB}$ )

(Il est par ailleurs totalement inopportun d'affirmer que cette longueur d'onde est de l'ordre de grandeur de la taille des fentes d'Young !! (facteur 100 !))

En mécanique quantique, c'est l'occasion qui fait le larron. C'est à dire que l'on propose 1 dispositif tentant d'exploiter l'aspect "ondulatoire" ou l'aspect "corpusculaire", l'interférence "nur fentes d'Young" exploitant (à priori !) l'aspect "ondulatoire" et les impacts (mouvements de positionnement par collision) l'aspect "corpusculaire".

d) 1e-a pour masse  $m_e = 9,1 \cdot 10^{-31} \text{ kg}$   
donc à cette vitesse (faible) vitesse d'environ  $1 \text{ m.s}^{-1}$   
on a une  $\lambda_{DB,e^-} = \frac{6,63 \cdot 10^{-34}}{9,1 \cdot 10^{-31} \times 1} \approx 10^{-9} \text{ m}$   
le rapport "longueur d'onde/taille" est beaucoup plus favorable à la qualification d'objet quantique.

Acabons pour que 10 ans de belles dans ces expériences, les  $e^-$  sont souvent relativistes et le calcul de la longueur d'onde de De Broglie devra faire avec  $\vec{p} = \gamma m \vec{v}$  et le Delta-décalage considérablement !)

On utilise des atomes froids (peu en énergie) car la dispersion de vitesse induit la dispersion des  $\lambda_{DB}$   
 $\Rightarrow$  perte de l'équivalence de la monochromatiqueité (moins de contrasté sur la figure d'interférences).

Q19) Une tache de diffraction est caractérisée par :

$$\sin \theta = \frac{\lambda_{DB}}{b} \text{ et } \tan \theta = \frac{L/2}{D} \leftarrow \text{demi-longeur de tache} .$$

On a avec l'approximation "petits angles" (justifiée en Q18)) :

$$\frac{\lambda_{DB}}{b} = \sin \theta \approx \theta \approx \tan \theta = \frac{L}{2D} \Rightarrow L = \frac{2\lambda_{DB}}{b}$$

Ce qui donne pour la longueur de la tache de "diffraction" :

$$L = \frac{2 \times 113 \cdot 10^{-3} \times 1,6 \cdot 10^{-8}}{2 \cdot 10^{-6}} \approx 180 \cdot 10^{-5} \text{ m}$$

$$L \approx 1,8 \text{ mm} .$$

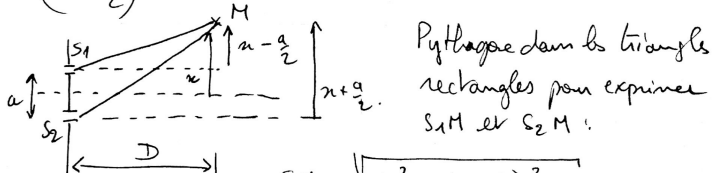
Or la résolution du MPC est de  $20 \mu\text{m} = 0,02 \text{ mm}$ .

ce qui représente 90 unités de résolution dans la tache (90 positions d'impacts distinguables dans la figure d'interférence)

[Sur le document (5) on voit que la longueur de tache est d'1mm plus d'1 mm mais que l'on perd le contraste (et donc la cohérence) au-delà des 1mm central].

Q20) Rq : l'angle  $\beta$  de la figure n'est pas nul car  $(S_1 M) \neq (S'_1 M)$  !

a) Les expressions littérales à montrer invitent à faire apparaître  $(x - \frac{a}{2})$  et  $(x + \frac{a}{2})$  sans schéma :



$$\text{soit: } S_1 M = D \sqrt{1 + \left(\frac{a-x}{2D}\right)^2} = D \sqrt{1 + \left(\frac{2x-a}{2D}\right)^2} = D \sqrt{1 + \frac{(a-2x)^2}{4D^2}}$$

$$\text{et } S_2 M = D \sqrt{1 + \frac{(a+2x)^2}{4D^2}}$$

$$\sqrt{1 + \varepsilon^2} \approx 1 + \frac{\varepsilon^2}{2} \text{ à l'ordre le + bas non nul en } \varepsilon .$$

$$\text{soit: } S_1 M \approx D + \frac{(a-2x)^2}{8D} \text{ et } S_2 M \approx D + \frac{(a+2x)^2}{8D}$$

b) Supposer que la vitesse des atomes reste constante jusqu'à la figure consiste à négliger la variation de  $\sqrt{f_0}$  à  $\sqrt{f_0 + 13}$ !  
soit 1 facteur 1,15 environ!

b) (suite) Toujours c'est bien à la traversée des fentes que les atomes se sont "comportés" de façon ondulatoire et pas après !.

Un déphasage s'exprime en fonction de la différence de marche:  $\Delta \phi = \frac{2\pi}{\lambda_{DB}} \delta$

$$\text{et ici: } \delta = (S_2 M) - (S_1 M) \approx \frac{(a+2x)^2}{8D} - \frac{(a-2x)^2}{8D}$$

$$\text{par identité remarquable: } S = \frac{2ax + 4x^2}{8D} = \frac{ax}{D}$$

$$\text{d'où: } \Delta \phi = \frac{2\pi a \Delta x}{\lambda_{DB} \times D}$$

c) L'interférence correspond à 1 Dx correspondant à 1  $\Delta (\Delta \phi = 0)$

$$\text{donc: } \Delta T = \frac{2\pi a \Delta x}{\lambda_{DB} \times D} \text{ soit } \Delta x = \frac{\lambda_{DB} \times D}{2\pi a} = i_{th}$$

$$A.N: i_{th} = \frac{1,6 \cdot 10^{-8} \times 113 \cdot 10^{-3}}{6,0 \cdot 10^{-6}} \approx 180 \cdot 10^{-5} \text{ m} .$$

$$i_{th} \approx 30 \cdot 10^{-5} \text{ m} = 300 \mu\text{m}$$

d) L'interférence n'est pas uniforme sur la fig 7 du doc (5)  
on peut estimer l'interférence exp margin:

$$2i_{exp} \approx 0,6 \text{ mm. } \Rightarrow i_{exp} \approx 300 \mu\text{m} \pm 100 \mu\text{m} !$$

On ne peut donc pas invalider le calcul "théorique" et donc le modèle précédent.

Q21) ... Pourtant le modèle + satisfaisant aboutit à :

$$i_{th}' = \frac{h}{m^* N_f} \times \frac{D}{a} \times 2 \times \frac{\sqrt{1+\alpha^2} - 1}{\alpha}$$

avec  $\alpha = \frac{2a}{\lambda_{DB}}$

(Pour trouver et comprendre !) la démo, je vous donne le lien suivant:  
[www.phys.ens.fr/~dalibard/Notes\\_de\\_cours/DETA\\_atom.html](http://www.phys.ens.fr/~dalibard/Notes_de_cours/DETA_atom.html)  
det2.pdf

Ecole  
Normale  
Supérieure

DETA !

a)  $gD$  est en  $m \cdot s^{-2} \cdot m = m^2 \cdot s^{-2}$  et  $v_f^2 = (m \cdot s^{-1})^2 = m^2 s^{-2}$   
donc ce coefficient est adimensionnel.

C'est en multipliant par la masse  $m^*$  que  $\alpha = \frac{m^* g D}{\frac{1}{2} m^* v_f^2}$ .

vois comme le rapport de deux variations d'énergies :

$m^* g D = \Delta E_{\text{pot}}^{\text{initial}}$  pendant la chute de hauteur  $D$

$\frac{1}{2} m^* v_f^2 = \Delta E_{\text{C}}$  (augmentation d'énergie cinétique jusqu'à l'arrivée aux franges obtien perte d'énergie cinétique jusqu'à la collision (impact)).

$$b) A.N : \alpha = \frac{2 \times 9,8 \times 113 \cdot 10^{-3}}{2 \times 9,8 \times 76 \cdot 10^{-3}} \approx 1,5$$

$$\sqrt{357} \approx 1,6 \quad \frac{9,6}{1,5} = 0,4$$

$$i''H = 1,6 \cdot 10^{-8} \times \frac{113 \cdot 10^{-3}}{6 \cdot 10^{-5}} \times 0,8 = 0,8 \times 30 \cdot 10^{-5} \text{ m.}$$

$$i''H = 24 \cdot 10^{-5} \approx 240 \mu\text{m} \quad \underline{\text{BOF!}}$$

c)  $i \alpha \rightarrow i H \rightarrow \frac{1}{2} \alpha D$  ! avec  $\frac{1}{2} \alpha D$  calculé avec  $v_f$  (correspondant à  $\Delta E_{\text{pot}}^{\text{initial}} = 0$ ).

le concept du sujet attend que les étudiants considèrent que les atomes gardent leur aspect ondulatoire au cours de leur chute ainsi:  $i v_f \frac{1}{2} \alpha D$  et donc la correction ( $0,8 \times \frac{1}{2} \alpha D$ ) correspond à cette accélération omise.

La question qui se pose naturellement est alors: pourquoi ne pas refaire cette expérience avec  $\ell \gg D$  ??

### PARTIE III : Interférences de molécules de fullerène.

Rq: les meilleurs résultats d'indice ① on confondra les marches optiques et les distances géométriques.

(Q30) On commence par décomposer la différence de marche:

$$\delta = (S T_{m+1} M_\infty) - (S T_m M_\infty)$$

$$\delta = (S T_{m+1}) + (T_{m+1} K) + (K T_m) - (S T_m) - (H T_m) - (T_m M_\infty)$$

Le théorème de Malus indique que le plan  $H T_{m+1}$  est l'plan d'onde et donc équiphase ainsi:  $(S T_m) = (S T_{m+1})$

$$\text{reste: } \delta = (T_{m+1} K) + (K T_m) - (H T_m) - (T_m M_\infty)$$

Le théorème de Malus associé au principe de retour inverse implique que les chemins  $(T_m M_\infty)$  et  $(K T_m)$  sont égaux.

$$\text{Ainsi: } S = (T_{m+1} K) - (H T_m)$$

ou en distances géométriques:  $S = T_{m+1} K - H T_m$ .

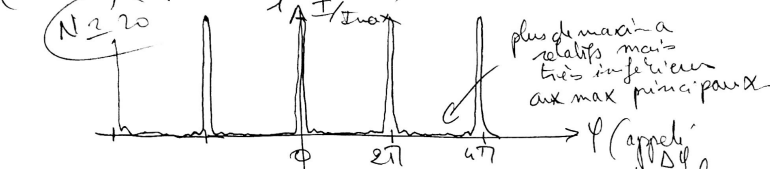
En utilisant  $a$  la distance  $S, S_2$  on a:

$$T_{m+1} K = a \sin \theta \text{ et } H T_m = a \sin \theta_0$$

$$\text{donc: } \boxed{\delta = a (\sin \theta - \sin \theta_0)}$$

Si  $\theta_k$  représente l'angle d'observation correspondant à l'intéférence constructive pour la longueur d'onde  $\lambda$  dans l'ordre  $k$ :  $\delta = k \lambda = a (\sin \theta_k - \sin \theta_0)$  "formule des réseaux".

(Q31) (Aucune justification demandée?).



Nondemandé: On peut montrer que:  $\frac{I}{I_{\max}} = \frac{1}{N^2} \sin^2\left(\frac{N\phi}{2}\right)$  (partie précédente!)

addition de  $N$  amplitudes vibratoires complexes:

$$\underline{I}_{\text{TOT}} = \underline{A}_0 (1 + e^{-j\frac{\phi}{2}} + e^{-j\frac{3\phi}{2}} + \dots + e^{-j(N-1)\phi})$$

$$\hookrightarrow \frac{(1 - e^{-jN\phi})}{(1 - e^{-j\phi})} = \frac{e^{-j\frac{N\phi}{2}}}{e^{-j\frac{\phi}{2}}} \frac{\sin(N\frac{\phi}{2})}{\sin(\frac{\phi}{2})}$$

$$\text{et } I_{\text{TOT}} = \underline{I}_{\text{TOT}} \times \underline{I}_{\text{TOT}}^* = N^2 \frac{\sin^2(N\frac{\phi}{2})}{\sin^2(\frac{\phi}{2})} = \frac{1}{N^2} I_{\max} \frac{\sin^2(N\frac{\phi}{2})}{\sin^2(\frac{\phi}{2})}$$

on a pour:  $\phi_k = 2k\pi$   $\Rightarrow I = I_{\max}$ .

maxima relatifs pour:  $\phi = \frac{(2m+1)\pi}{2N}$  (sauf pour  $m=0$  et  $m=N-1$ )

$$\text{Avec pour intensité des maxima seconds: } \frac{I}{I_{\max}} = \frac{1}{N^2} \frac{\sin^2(\frac{(2m+1)\pi}{2N})}{\sin^2(\frac{m\pi}{N})} = \frac{1}{4N}$$

Si  $N \rightarrow \infty$

cette fonction  $\frac{I}{I_{\max}}$  tend vers 1 "peigne de Dirac" dans l'espace des  $\phi$  avec une périodicité de  $2\pi$ .

Q32) Si le déflecteur est à l'âme (?) (D>>a) on a:  $\tan \theta \approx \theta = \frac{x}{D}$   
 Si on travaille en incidence normale:  $\theta_0 = 0$   
 donc  $\Delta x = a \sin \theta_k \approx a \theta_k \approx a \frac{x_k}{D}$   
 et  $(k+1)\Delta x = a \frac{x_{k+1}}{D}$

par définition de l'interférence (et aux besoins des angles !):

$$\Delta x = x_{k+1} - x_k = \frac{1}{a} D$$

Q33)  $m_{full} = 6C \times m_C = \frac{60 \times 12 \cdot 0 \cdot 10^{-3}}{6,02 \cdot 10^{23}} \simeq 120 \cdot 10^{-26} \text{ kg} = 0,12 \cdot 10^{-23} \text{ kg}$

$$J_{Dg_{full}} = \frac{6,63 \cdot 10^{-34}}{0,12 \cdot 10^{-23} \times 225} \quad \begin{matrix} \text{en prenant la vitesse moyenne} \\ \text{de } v_{full} \simeq 225 \text{ m.s}^{-1} \end{matrix}$$

$$J_{Dg_{full}} \simeq \frac{3 \cdot 10^{-36}}{120 \cdot 10^{-26}} = \frac{1}{40} \cdot 10^{-10} \text{ m}$$

$$J_{Dg_{full}} = 0,025 \cdot 10^{-10} \text{ m} = 2,5 \cdot 10^{-12} \text{ m!}$$

Q34) A.N.:  $\Delta x = \frac{2,5 \cdot 10^{-12} \times 1,25}{100 \cdot 10^{-9}} \simeq \frac{3,1 \cdot 10^{-12}}{10^{-7}} = 3,1 \cdot 10^{-5} \text{ m}$

on trouve:  $\Delta x \simeq 0,031 \text{ mm.} = 31 \mu\text{m.}$

Comparaison avec valeur exp (très imprécise!):  $\Delta x_{exp} \simeq 35 \cdot 10^{-6} \mu\text{m}$

Rq: on a pris la vitesse moyenne pour calculer la longueur d'onde de De Broglie. On n'y aurait pas de dispersion dans cette courbe de statistique de distribution des vitesses!

Q35) En utilisant les vitesses à "mi-hauteur":

$$\left. \begin{array}{l} v_- \simeq 150 \text{ m.s}^{-1} \\ v_+ \simeq 275 \text{ m.s}^{-1} \end{array} \right\} \rightarrow \lambda_+ \simeq \lambda_m \times \frac{v_+}{v_-} \simeq 2,75 \cdot 10^{-12} \text{ m}$$

$$\text{soit } \Delta \lambda = \lambda_+ - \lambda_- \simeq 1,75 \cdot 10^{-12} \text{ m.}$$

et en grandeur relative:  $\frac{\Delta \lambda}{\lambda_m} = \frac{1,75}{45} \simeq 70\%$  !

Elargissement spectral  $\Rightarrow$  interférence temporelle  $\Rightarrow$  perturbation !

Q36) On peut considérer que deux longueurs d'onde brouillent leurs figures d'interférence si il y a une coincidence (pour  $S \in S$ :  $p_{11} = k$  pour l'une et  $p_{22} = k+1/2$ ) ( $\Delta p = \frac{1}{2}$ )

On va alors prendre comme critère "semi-quantitatif" (?)

$$\Delta p \leq \frac{1}{2}$$

[N'oubliez pas utiliser le calcul différentiel ici car le  $\Delta \lambda$  n'est pas du tout négligeable devant  $\lambda_m$ !]

On cherche alors la différence de marche  $S$  pour laquelle  $\Delta p = \frac{1}{2}$ .

$$\text{ssi: } p_{1+} \times \lambda_+ = (p_{1+} + \Delta p) \times \lambda_- (= S)$$

$$p_{1+} \times (\lambda_- + \Delta \lambda) = (p_{1+} + \Delta p) \lambda_-$$

$$\text{ou encore } p_{1+} \times \Delta \lambda = \Delta p \times \lambda_-$$

$$\text{or } p_{1+} = \frac{S}{\lambda_+}$$

$$\text{donc: } \Delta p = \frac{p_{1+} \times \Delta \lambda}{\lambda_-} = \frac{S \times \Delta \lambda}{\lambda_- \times \lambda_+}$$

$$\text{et donc: } S \times \frac{\Delta \lambda}{\lambda_- \times \lambda_+} \leq \frac{1}{2}$$

$$S \leq \frac{1 \times \lambda_+}{2 \Delta \lambda} = l_C$$

Mais contrairement à l'énoncé qui signifie absolument  $\lambda_m$  n'est pas la moyenne arithmétique de  $\lambda_+$  et  $\lambda_-$ !  
 (ils ont donné 2 définitions ≠ de la  $\lambda_m$  grande !)

Avec  $\lambda_m$  moyenne géométrique:  $\lambda_m = \sqrt{\lambda_+ \lambda_-}$

$$\text{on peut écrire: } l_C = \frac{\lambda_m^2}{2 \Delta \lambda}$$

ou la longueur cohérente d'une source est:  $l_C = \frac{1}{\Delta \lambda} \leftarrow \text{d'où}$

$$\text{avec } \Delta \lambda = \lambda_2 - \lambda_1 = \frac{1}{\lambda_-} - \frac{1}{\lambda_+} = \frac{\lambda_+ - \lambda_-}{\lambda_+ \lambda_-} = \frac{\Delta \lambda \text{ en m}^{-1}}{\lambda_m^2}$$

On trouve donc rigoureusement que :  $\ell_c = \frac{L_c}{2}$  alors qu'il valait certainement que l'on remarque la longueur de cohérence. En prenant comme limite  $\ell_c$  au lieu de  $2\ell_c$  on aura l'meilleur contraste exigé.

Q37) On parle d'ailleurs de "bon contraste" dans cette question.

$$\text{avec } S = \frac{\alpha x}{D} \leq \frac{\Delta n^2}{2 D \ell_c}$$

$$\alpha \leq \frac{\Delta n^2 D}{2 \ell_c \Delta \lambda} = \frac{(1,7)^2 \times 1,75}{2 \times 100 \cdot 10^{-3} \times 1,75}$$

$$x \leq \frac{7,8}{3,5 \times 100} \times 10^{-3}$$

$$x \leq 2,2 \cdot 10^{-5} = 22 \mu\text{m}$$

(au fil du temps on prend  $\ell_c$  au lieu de  $\ell_c$ )

et sur la figure (12) on "perd" le contraste pour  $x \geq 70 \mu\text{m}$  pour mesurer l'intensité de  $31 \mu\text{m}$  le contraste n'est plus tenable.

Q38) Oui, le large distribution statique des vitesses est lié à l'agitation thermique (et à l'effet Doppler!) donc si la température  $T$  augmente,  $\Delta v^2$  et  $D \cdot T$  (la "vague") perd sa cohérence temporelle!  $\Rightarrow$  perte des interférences par brouillage.

Difficile de faire sortir du four à  $700^\circ\text{C}$  des atomes de tellure froids!

EXERCICE (B) : Réalisation analogique d'une MLI.

A1) ALI idéal

- pas d'effets de brouillage ou intensité.
- gain différentiel infini en régime d'amplification
- Impédance d'entrée infinie
- Impédance de sortie nulle
- bande passante infinie.

Q2) Aucune rétroaction dans la figure A.2 ⇒ fonctionnement en régime statique obligatoirement.

Ce montage est un comparateur simple.

$$u_{M(t)} > u_{S(t)} \Rightarrow u_{mod} = V_{sat}(+)$$

$$u_{M(t)} < u_{S(t)} \Rightarrow u_{mod} = V_{sat}(-)$$

Q3)  $u_{S(t)}$  augmente de  $U_{max}$  sur la durée  $T$ .  $\square a = \frac{U_{max}}{T}$

Q4) Si  $u_{M(t)} = U_0 \ \forall t$ , les bascules  $\varepsilon = 0$  ont lieu lorsque :

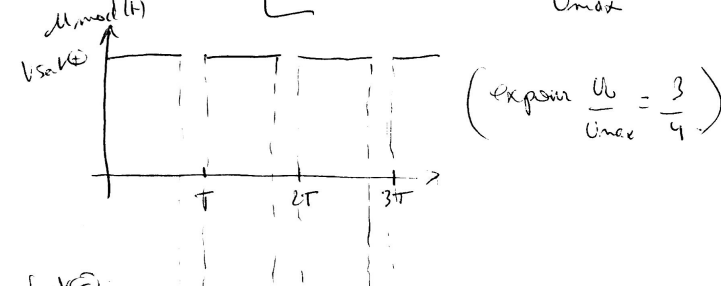
$$\frac{U_{max}}{T} \times t^* = U_0$$

avant  $t^* = \frac{U_0}{U_{max}} T$ ,  $M(t) > S(t)$  donc la sortie était à l'état haut  $V_{sat}(+)$

et à  $t = T$  on a 1 seconde basse où la sortie repasse à l'état haut.

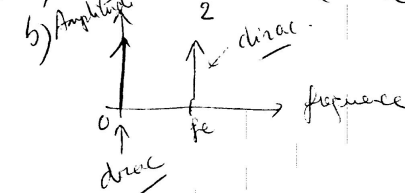
Donc on a l'état haut sur la durée  $\frac{U_0 T}{U_{max}} = \Sigma_+$

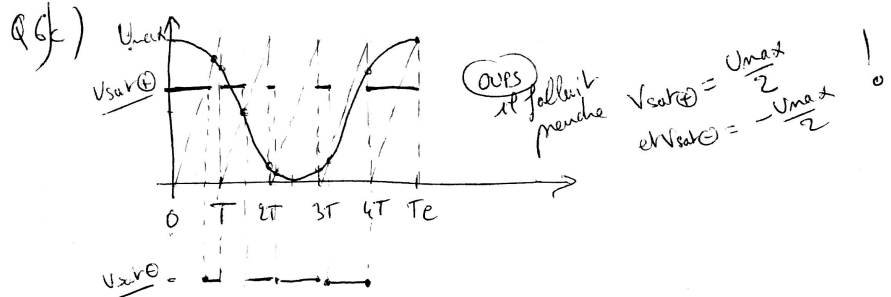
et l'état bas sur :  $\Sigma_- = T - \Sigma_+ = \frac{(U_{max} - U_0) T}{U_{max}}$



Q5) Si  $U_0 > U_{max}$ ,  $M(t) > S(t) \ \forall t \Rightarrow u_{mod} = V_{sat}(+) \ \forall t$

Q6) a)  $m(t) = \frac{U_{max}}{2} \cos\left(\frac{2\pi}{T} t\right) + \frac{U_{max}}{2}$





Q6) d) spectre du signal modulé en longeur d'impulsion donné.

On remarque que le spectre contient bien le fondamental de 1 kHz constituant le signal modulant original et donc qu'un bon filtre passe-bas (ordre + élevé possible) de fréquence de coupure d'émission 2 ou 3 kHz conviendrait pour éliminer les composants suivants.

On peut s'interroger par contre sur le cas d'un modulant périodique non sinusoïdal puisqu'il faudrait récupérer 1 nombre important d'harmoniques  $\Rightarrow$  augmenter alors le rapport  $\frac{T_e}{T}$  !

A.2

Q7) Impédance d'entrée d'un ALI relé :  $Z_e$  peut être  $M_{SR}$  pour les moins bons (et le teuf !) pour ceux ayant des transistors à effets de champ dans l'étage de l'entrée d'entrée.)

Impédance de sortie :  $Z_e$  peut atteindre la centaine de  $\Omega$  mais en réaction la valeur de l'impédance de sortie du montage le contenant est divisée par le taux de réaction souvent élevé!

Au final l'impédance de sortie du montage est nouvellement inférieure à  $1 \Omega$ .

Q8) La question devrait être : "Pourquoi peut-on les étudier lorsqu'ils sont "à vide"?"  
Dans ce cas il faut comparer l'impédance de sortie du (1) à l'impédance d'entrée du (2) et vérifier que :  $Z_{e2} = R_3 \Rightarrow Z_{S1} = ?$   
l'iden en sortie du (2) :  $Z_{S2} = \frac{R_1}{R_2} \Rightarrow Z_{S2} = ?$

Q9] a) On étudie manifestement l'étage (1) :

$$\rightarrow v_i(t) > 0 \text{ alors: } i_R = i_C$$

s'lit:  $\frac{v_i(t)}{R_1} = -C \frac{du(t)}{dt}$

et  $\frac{du(t)}{dt} = -\frac{v_i(t)}{RC}$  intégration inverse.

b)  $\rightarrow v_i(t) < 0$  alors:  $i_R = i_C$

$$\frac{du(t)}{dt} = \frac{-v_i(t)}{R_2 C}$$

Nouvelle constante de temps.

Q10) a) La rétroaction reçoit la sortie de l'ALI avec l'entrée non-inverse et c'est la seule rétroaction donc c'est déstabilisant  $\rightarrow$  passage en saturation (on peut le démontrer à condition d'utiliser le modèle d'ALI passe-bas du premier ordre en régime initialement linéaire).

b) si  $v_i = V_{sat}$  alors  $u_S(t) = -\frac{1}{RC} V_{sat} t + C_0$

et pour être cohérent avec  $v_i = +V_{sat}$  en sortie de l'étage (2)  $E_2$  doit être simultanément  $> 0$  !

or  $E_2 = V_{\oplus_2} - V_{\ominus_2} = V_{\oplus_2} = \frac{u_S}{R_1} + \frac{u_e}{2R_2}$  par la LNTP en  $V_{\oplus_2}$

s'lit la condition:  $u_S + \frac{u_e}{2} > 0$

ou bien si:  $u_S > -\frac{V_{sat}}{2}$

Ainsi, si  $u_S(t)$  (décroissant temporellement) atteint cette valeur  $\Rightarrow$  basculément vers  $u_S = -V_{sat}$  !

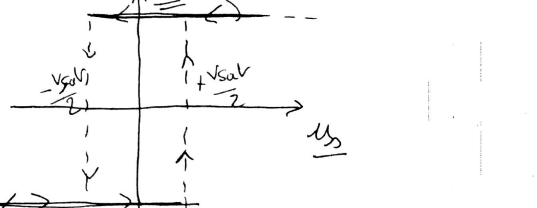
c)  $u_e = -V_{sat}$  doit être cohérent avec  $E_2 < 0$

donc:  $u_S + \frac{u_e}{2} < 0 \Leftrightarrow u_S < \frac{V_{sat}}{2}$

et dans cette phase, nous savons:

$u_S(t) = +\frac{1}{RC} V_{sat} t + C_0$

d) les questions précédentes pourront la caractéristique de transfert (orientée) suivante.



Il s'agit d'un comparateur NON INVERSEUR d'hypothèse

Q11) a) à  $t=0$  l'échelle ② vient de basculer en saturation haute (depuis la saturation basse) ainsi  $u_s(0) = +\frac{v_{sat}}{2}$  et à partir de cet instant :

$$u_s(t) = -\frac{1}{R_2 C} v_{sat} t + C_0 \quad (\text{Q10 b})$$

donc (avant 1 autre basculement), avec la condition initiale précédente :  $C_0 = \frac{v_{sat}}{2}$

$$0 \leq t < t_1 \Rightarrow u_s(t) = v_{sat} \left( \frac{1}{2} - \frac{t}{R_2 C} \right)$$

↑ basculement imminent

b) à  $t_1$  la basculement se fait pour  $u_s(t_1) = -\frac{v_{sat}}{2}$

l'échelle :  $-\frac{v_{sat}}{2} = \frac{v_{sat}}{2} - \frac{v_{sat}(t_1)}{R_2 C} \Rightarrow t_1 = R_2 C$

la saturation haute a donc duré :  $\Delta t_{\text{haute}} = t_1 - 0 = R_2 C$

Q12) a)  $u_s$  s'est déversé :

$$u_s(t) = +\frac{1}{R_2 C} v_{sat} t + C_0'$$

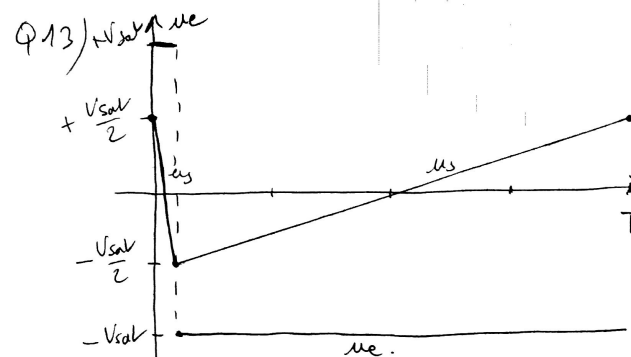
et à  $t = t_1 = R_2 C \quad u_s(t_1) = -\frac{v_{sat}}{2} = \frac{1}{R_2 C} v_{sat} t_1 + C_0'$

$$-\frac{v_{sat}}{2} = \frac{R_1}{R_2} v_{sat} + C_0' \Rightarrow C_0' = -\left(\frac{R_1}{R_2} + \frac{1}{2}\right) v_{sat}.$$

et  $u_s(t) = \frac{1}{R_2 C} v_{sat} (t - R_2 C) - \frac{v_{sat}}{2}$

b) basculement à  $t_2$  :  $\frac{1}{R_2 C} v_{sat} (t_2 - t_1) - \frac{v_{sat}}{2} = +\frac{v_{sat}}{2}$   
 $\Rightarrow t_2 - t_1 = R_2 C \quad \text{ou bien} \quad t_2 = \frac{(R_1 + R_2) C}{T \text{ (période)}}$   
 et  $\Delta t_{\text{baso}} = R_2 C$

$\Delta t_{\text{baso}} = 19 \Delta t_{\text{haute}}$



$$\text{Q14) } f = \frac{1}{T} = \frac{1}{(R_1 + R_2) C} = 10^6 \text{ Hz.}$$

$$\frac{\Delta t_{\text{baso}}}{\Delta t_{\text{haute}}} = \frac{R_2}{R_1} = 19 \quad \text{et} \quad C = 10 \mu F$$

$$\Rightarrow R_1 + R_2 = \frac{1}{10^6 \times 10 \times 10^{-12}} = 10^5 \Omega.$$

$$\Rightarrow R_2 = \frac{19}{20} \times 10^5 \approx 9,5 \cdot 10^4 \Omega = 95 \text{ k}\Omega$$

$$R_1 = \frac{10^5}{20} = 5 \text{ k}\Omega.$$

EXERCICE C) : Puissance et effets induits par l'avion en vol.

I. A) 1] Sur la deuxième situation de la figure ②, on remarque nettement le rétrécissement de section des tubes de courant passant par l'extrados et l'élargissement de section des tubes de l'internados (à proximité immédiate de l'aile).

[ S'agissant de la représentation 2D d'une situation 3D, on raisonnera donc sur un modèle d'aile transversalement infime pour parler de section en supposant qu'il n'y a pas de modification transverse de la section d'un tube de courant.]

On invoque alors l'hypothèse proposée d'un écoulement incompressible. On donc la conservation du débit de volume le long d'un tube : le rétrécissement implique alors l'accélération du fluide sur l'extrados ( $v_{in} > v_{ex}$ ) et le ralentissement sur l'internados ( $v_{in} < v_{ex}$ ).

I.A.2] entre 1 pt loin en amont de l'aile et sur l'extrados, le théorème de BERNOULLI s'écrit :

$$P_0 + \frac{1}{2} \rho v_0^2 + \rho g z_0 = P_{\text{ext}} + \frac{1}{2} \rho v_{\text{ex}}^2 + \rho g z_{\text{ex}}$$

(en admettant comme l'énoncé nous y invite que toutes les hypothèses sont vérifiées !)

et sur l'intrados :

$$P_0 + \frac{1}{2} \rho v_0^2 + \rho g z_0 = P_{\text{int}} + \frac{1}{2} \rho v_{\text{int}}^2 + \rho g z_{\text{int}}$$

I.A.3] On peut déjà choisir  $z_0$  très proche de  $z_0^-$  (ligne de séparation entre extrados et intrados)

Il reste :  $P_{\text{int}} - P_{\text{ext}} = \underbrace{\frac{1}{2} \rho (v_{\text{ex}}^2 - v_{\text{int}}^2)}_{>0} + \underbrace{\rho g (z_{\text{ex}} - z_{\text{int}})}_{>0}$

Il n'est donc pas nécessaire de négliger  $\rho g (z_{\text{ex}} - z_{\text{int}})$  pour affirmer que  $P_{\text{int}} > P_{\text{ext}} \Rightarrow$  portance et donc instabilité portante

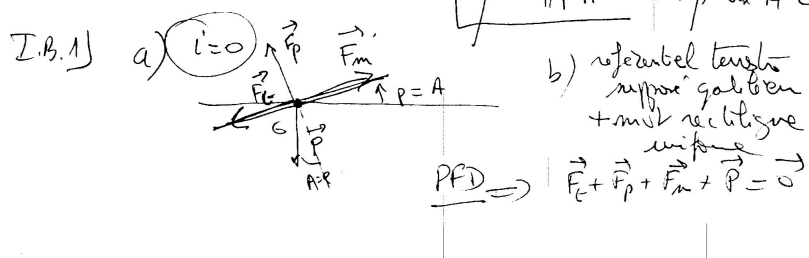
On peut essayer de faire 1 comparaison en estimant des ordres de grandeurs :

$\rightarrow \frac{||F_p||}{\text{portance}} \# \frac{(P_{\text{int}} - P_{\text{ext}}) \times 2S}{\text{aire surface d'1 aile}}$  (à mi-hauteur) (que pour 1 aile)  
 $\qquad \qquad \qquad \# \frac{2S}{220 \text{ m}^2}$  (ordre de grandeure)

$\frac{m}{2.10^3} \frac{g}{s^2} \frac{10}{\text{air}} \text{ soit } (P_{\text{int}} - P_{\text{ext}}) \# 10^2 \text{ N/m}^2$

avec  $(z_{\text{ex}} - z_{\text{int}}) \# 1 \text{ m}$   
on obtient :  $1.2 \times 10 \times 1 \# 12 \text{ N/m}^2$

I.B.] Facteur de charge de l'aile :  $\gamma = \frac{||F_p||}{||P||} \leq \beta_{\text{max}} \# 2$ .



c) En projetant dans la direction de la portance : ( $i=0$ )

$$\vec{F}_p = mg \cos A$$

avec  $F_p = \frac{1}{2} \rho S v^2 C_p$

alors :  $\frac{1}{2} \rho S v^2 C_p = mg \cos A$

ou encore :  $v = \sqrt{\frac{2mg \cos A}{\rho S C_p}}$

d) Par définition de la puissance instantanée d'une force dans 1 référentiel donné :  $P_m = \vec{F}_m \cdot \vec{v} = ||\vec{F}_m|| \cdot v > 0$

On reprend cette relation ici :

Mme n'est pas demandé, il est rapide de retrouver l'expression proposée :

$$\begin{cases} F_p = mg \cos A \\ F_t + mg \sin A = F_m \end{cases}$$

donc  $F_t \cdot v + mg \sin A \cdot v = F_m \cdot v = P_m$

$$\frac{F_p \times C_p}{C_p} \times v + mg \sin A \cdot v = P_m$$

$$(mg \cos A \cdot \frac{C_p}{C_p} + mg \sin A) v = P_m$$

$$mg \frac{C_p}{C_p} (\cos A + \sin A) \times \frac{v}{\frac{mg \cos A}{C_p}} = P_m$$

donc bien :  $P_m = P_m (\cos A + \sin A) \sqrt{C_p}$ . C.Q.N.F.P.D.

$P_m$  n'est bien une puissance car  $C_p$  est sans unité et  $mg v$  est la puissance.

$A.N \quad f_0 = \frac{0,2h}{0,008} = 30 \quad \text{et} \quad P_m = \frac{1,3 \cdot 10^3 \times 9,81}{30} \sqrt{\frac{2 \times 43,10^3 \times 9,81}{12 \times 220 \times 0,24}}$

$$P_m \approx 0,7 \cdot 10^3 \sqrt{\frac{42 \cdot 10^3}{63 \cdot 220}}$$

$$P_m \approx 0,7 \cdot 10^3 \times \sqrt{\frac{7 \cdot 10^3}{11}}$$

$$P_m \approx 700 \times \sqrt{6,3 \cdot 10^2}$$

$$P_m \approx 47 \times 700 \approx 17,1 \text{ kW.} \approx \underline{\text{W.H.W. (+5%)}}$$

e)  $A \leq 10^\circ \Rightarrow$  (en radians !)  $\sin A \approx A$   $\cos A \approx 1$  à l'ordre 1 en A.

$$P_m \approx P_m (1 + 30A)$$

avec  $P_m = P_{\text{max}} = 50 \text{ kW}$   $1 + 30A \approx \frac{50}{17,1} \approx 2,9$

$$30A \approx 1,9 \quad A \approx \frac{1,9}{30} \text{ radians}$$

$$A \approx \frac{6,3 \cdot 10^{-2}}{\pi}$$

on voit A à environ :  $2 \times 180 \times 10^{-2}$  degrés

sur 3,6 degrés d'angle plan. ( $\approx 4^\circ$ )  
Validité du modèle ??!! de l'approx des petits angles plutôt!

$6^\circ < 10^\circ$  OK.

f)  $v_j = v \sin A = \sqrt{\frac{2mgA}{\rho S g}} \sin A$

A.N.:  $v_j \approx \sqrt{\frac{2mg}{\rho S g}} A = \sqrt{\frac{2 \times 2,3 \cdot 10^3 \cdot 9,8}{1,2 \times 20 \cdot 0,24}} \times \frac{1,9}{30} \approx 25$  (faire tendre).

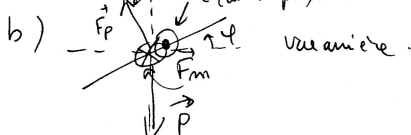
g)  $v_j \approx 1,5 \text{ m.s}^{-1}$  ( $\pm 0,1$  !)

$\eta = \frac{\|\vec{F}_p\|}{\|\vec{P}\|} = \cos A \approx 1 - \frac{A^2}{2} \approx 1 < 2$  pas de risque de rupture.

### I.B.2) Vol en virage

Annexe à 1) trajectoire circulaire plane réalisée de manière uniforme.  
les ailes de l'avion sont inclinées de  $\phi$ .

a)  $\vec{F}_m + \vec{P} + \vec{F}_G + \vec{F}_p = m \vec{a}$  dans le référentiel Galilien (terrestre).



c) En prenant les coordonnées polaires nouvelles dans le plan de la trajectoire avec  $\hat{e}_\theta$  dans le sens de  $\vec{v}$  (et donc de  $\vec{F}_m$ )

$$\vec{v} / \begin{matrix} r \\ r\hat{e}_\theta \end{matrix} \xrightarrow{\text{(i)}} \vec{v} / \begin{matrix} 0 \\ R\hat{e}_\theta \end{matrix} \text{ car circulaire } r=R=\text{cte.} \\ \text{car uniforme. (notons } \dot{\theta} = \omega = \frac{\text{d}\theta}{\text{dt}} = \frac{\pi}{R} \text{)}$$

$$\vec{a} = v \frac{d\hat{e}_\theta}{d\theta} = -v^2 \hat{e}_r$$

$$\text{donc en projetant sur } \hat{e}_r: + \frac{mv^2}{R} = F_p \cos \phi$$

$$\text{Car on a: } F_p \cos \phi = mg. \quad \text{donc } \frac{mv^2}{R} = mg \tan \phi$$

soit  $R = \frac{v^2}{g \tan \phi}$

d)  $\eta = \frac{\|\vec{F}_p\|}{mg} = \frac{1}{\cos \phi}$

e) Ainsi  $\frac{1}{\cos \phi} < \eta_{\max}$

$$\text{et } \tan \phi = \frac{\sin \phi}{\cos \phi} = \frac{\sqrt{1-\cos^2 \phi}}{\cos \phi} = \sqrt{\frac{1}{\cos^2 \phi} - 1} = \sqrt{\eta^2 - 1}$$

$$\text{donc: } R = \frac{v^2}{g \sqrt{\eta^2 - 1}}$$

$$\text{et } R_{\min} = \frac{v^2}{g \sqrt{\eta_{\max}^2 - 1}}$$

$$\left( \frac{v^2}{g} \text{ si } \eta_{\max} = 2 \right)$$

correspondant  
à  $\cos \phi = \frac{1}{2}$   
 $\phi = 60^\circ$  ??

FIN